

13.4.1. Анализ двух- и трехинтервального режимов

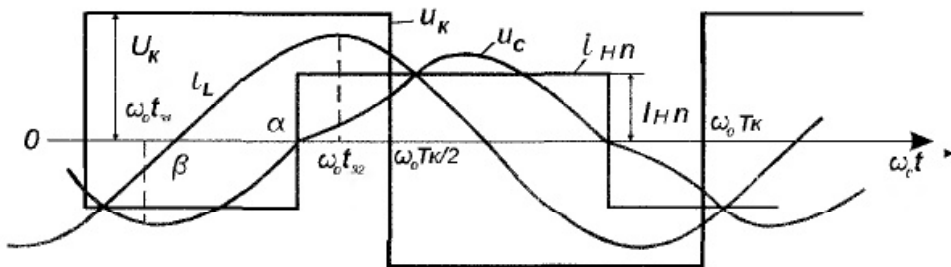


Рис. 13.13. Диаграммы процессов в двухинтервальном режиме работы.

Временные диаграммы напряжений на входе контура, на конденсаторе, а также тока в дросселе показаны на рис. 13.13. Там же показан приведенный к первичной обмотке ток нагрузки i_{nn} . По оси абсцисс на рис. 13.13 отложен угол $\omega_0 t$, где $\omega_0 = 1/\sqrt{LC}$ — резонансная частота контура.

Переход тока i_{nn} через ноль обусловлен переключением диодов $D1, D2$ и совпадает с моментом изменения знака напряжения u_c на конденсаторе контура (угол α на рис. 13.13).

Приведя ток нагрузки к обмотке W_1 трансформатора и обозначив его I_{nn} , получим две схемы замещения для первого ($0 \leq \omega_0 t \leq \alpha$) и второго ($0 \leq \omega_0 t' \leq \omega_0 Tk/2 - \alpha$) интервалов в полупериоде, которые показаны на рис. 13.14. После составления системы дифференциальных уравнений и их решения, определяются начальные условия с учетом симметричности работы в обоих полупериодах.

В результате мгновенное напряжение на конденсаторе и ток в дросселе в первом и втором интервалах в относительном виде записываются следующим образом:

$$\frac{u_{c1}(\omega_0 t)}{U_{nn}} = \frac{1}{U_{nn}} + \frac{1}{\cos \frac{\pi}{2\mu}} \left\{ \left[q \cos \left[\frac{\pi}{2\mu} - \alpha \right] - \frac{\sin \frac{\pi}{2\mu}}{U_{nn}} \right] \sin \omega_0 t + \right. \\ \left. + \left[q \sin \left[\frac{\pi}{2\mu} - \alpha \right] - \frac{\cos \frac{\pi}{2\mu}}{U_{nn}} \right] \cos \omega_0 t \right\}; \quad (13.4.1)$$

$$\frac{i_{L1}(\omega_0 t)}{I_{nn}} = -1 + \frac{1}{\cos \frac{\pi}{2\mu}} \left\{ \left[\frac{\cos \frac{\pi}{2\mu}}{U_{nn}q} - \sin \left[\frac{\pi}{2\mu} - \alpha \right] \right] \sin \omega_0 t + \right. \\ \left. + \left[-\frac{\sin \frac{\pi}{2\mu}}{U_{nn}q} + \cos \left[\frac{\pi}{2\mu} - \alpha \right] \right] \cos \omega_0 t \right\}; \quad (13.4.2)$$

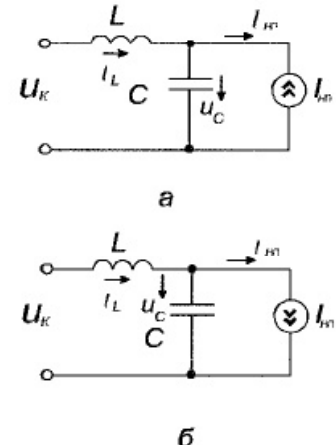


Рис. 13.14. Схемы замещения для первого и второго интервалов в полупериоде.

$$\frac{u_{C2}(\omega_0 t')}{U_{nn}} = \frac{1}{U_{nn}} + \frac{1}{\cos \frac{\pi}{2\mu}} \left\{ \left[\frac{-\sin \left[\frac{\pi}{2\mu} - \alpha \right]}{U_{nn}} - q \cos \frac{\pi}{2\mu} \right] \sin \omega_0 t' + \right. \\ \left. + \left[-\frac{\cos \left[\frac{\pi}{2\mu} - \alpha \right]}{U_{nn}} + q \sin \frac{\pi}{2\mu} \right] \cos \omega_0 t' \right\}; \quad (13.4.3)$$

$$\frac{i_{L2}(\omega_0 t')}{I_{nn}} = 1 + \frac{1}{\cos \frac{\pi}{2\mu}} \left\{ \left[\frac{\cos \left[\frac{\pi}{2\mu} - \alpha \right]}{U_{nn}q} - \sin \frac{\pi}{2\mu} \right] \sin \omega_0 t' + \right. \\ \left. + \left[\frac{\sin \left[\alpha - \frac{\pi}{2\mu} \right]}{U_{nn}q} - \cos \frac{\pi}{2\mu} \right] \cos \omega_0 t' \right\}. \quad (13.4.4)$$

В соотношениях (13.4.1)...(13.4.4) приняты следующие обозначения: u_{c1} , i_{L1} , u_{c2} , i_{L2} — напряжение и ток в первом (индекс 1) и во втором (индекс 2) интервалах; $U_{nn} = U_{вых}/n$ — приведенное к первичной обмотке трансформатора выходное напряжение ($n = W_2/W_1$ — коэффициент трансформации); $I_{nn} = nI_n$ — приведенный к первичной обмотке трансформатора ток нагрузки; $U_{nn} = U_{nn}/U_k = \frac{U_{nn}}{KU_{вых}}$ — нормированное приведенное выходное напряжение (U_k — амплитуда напряжения на входе контура; K — коэффициент, учитывающий структуру выходного каскада преобразователя и равный: единице при мостовой схеме, полумостовой с двумя источниками напряжения постоянного тока и двухтактной с двумя обмотками резонансного дросселя; двум при двухтактной схеме с промежуточным трансформатором); $\mu = f/f_0$ — относительная частота; $q = \sqrt{L/C/R_{nn}}$ — параметр, характеризующий нагрузку преобразователя ($R_{nn} = R_n/n^2$ — приведенное к первичной обмотке трансформатора сопротивление нагрузки).

В (13.4.1)...(13.4.4) параметры μ и q считаются известными, а U_{nn} и α определяются из системы уравнений:

$$\begin{cases} \cos \left[\alpha - \frac{\pi}{2\mu} \right] - \cos \frac{\pi}{2\mu} = U_{nn}q \sin \frac{\pi}{2\mu}; \\ 1 - 2\alpha \frac{\mu}{\pi} + 2 \frac{\mu}{\pi} \frac{\sin \left[\alpha - \frac{\pi}{2\mu} \right]}{\cos \frac{\pi}{2\mu}} = U_{nn}. \end{cases} \quad (13.4.5)$$

Первое уравнение в (13.4.5) получено из условия равенства нулю напряжения u_c в момент α (например, из (13.4.3)), а второе — интегрированием (13.4.1) и (13.4.3) в целях определения нормированного и приведенного к первичной обмотке выходного напряжения. Исключая из (13.4.5) U_{nn} , получим уравнение относительно угла α :

После составления и решения дифференциальных уравнений имеем:
для рис. 13.14 а) (интервал $0 \leq w_0 t \leq \alpha$)

$$V_c(t) = V_k + (V_0 - V_k) \cos(w_0 t) + (I_0 + I_h) * a * \sin(w_0 t); \quad (1)$$

$$I_l(t) = -I_h + (I_0 + I_h) \cos(w_0 t) - (V_0 - V_k) \sin(w_0 t) / a; \quad (2)$$

для рис. 13.14 б) (интервал $0 \leq w_0 t \leq w_0 T_k / 2 - \alpha$)

$$V(t_1) = V_k - V_k \cos(w_0 t_1) + (I_\alpha - I_h) * a * \sin(w_0 t_1); \quad (3)$$

$$I_l(t_1) = I_h + (I_\alpha - I_h) \cos(w_0 t_1) + V_k \sin(w_0 t_1) / a; \quad (4)$$

Обозначения: $a = \sqrt{\frac{I}{C}}$,

$$w_0 T_k / 2 = \frac{\pi}{\mu},$$

V_0 – напряжение на емкости в момент времени 0,
 I_0 – ток в индуктивности в момент времени 0,
 I_α – ток в индуктивности в момент времени α ,
 $x = w_0 T_k / 2 - \alpha$;

I_α можно определить из уравнения (2). Далее из условий: $V(x) = -V_0$ (уравнение (3)),
 $I(x) = -I_0$ (уравнение (4)) можно определить I_0 , V_0 .

Но... получаются громоздкие тригонометрические выражения. Например у меня получилось:

$$V_0 = -V_k - V_k \cos(\alpha) \cos(x) + V_k \cos(x) + V_k \cos(\alpha) - V_k \sin(\alpha) \sin(x) + 2 * I_h * a * \sin(x)$$

$$-----$$

$$-(1 + \cos(\alpha) \cos(x) - \sin(\alpha) \sin(x))$$

У Мелешина

$$V_0 = \sin(\pi/(2*\mu) - \alpha)$$

$$-----$$

$$\cos(\pi/(2*\mu))$$

Как он вывел?